

이 論文은 1979年度 文教部 學術研究造成費에 의하여 研究된 것임.

Alcohol-gasoline 機關의 性能과 排出物에 關한 研究

金 應 瑞^{*} · 金 孝 經^{**} · 劉 宰 碩^{***}

Study on Engine Performance and Emissions using Alcohol-gasoline Blend as a Fuel

Eung Seo Kim, Hyo Kyung Kim, Jai Suk Yoo

Abstract

Experiments about engine performance using alcohol-gasoline blend as a fuel are studied. A conventional 4cycle 4cylinder gasoline engine is used. Measurements on torque, output, specific fuel consumption, and emissions are made over ignition timing and mixing ratio.

Up to vol. 15% of alcohol, torque and output using alcohol-gasoline blend are almost same with using only gasoline, and specific fuel consumption is improved about 7%. In emissions alcohol-gasoline blend is more effective than gasoline.

1. 緒 論

高價原油時代에 접어들면서 世界各國의 에너지政策은 脱石油의 方向으로 크게 轉換하고 있다. 石炭燃料의 自給이 可能한 國家에서는 그것의 活用으로서 methanol(CH_3OH)을, 農산물로부터의 二次の 利用이 용이한 國家에서는 ethanol($\text{C}_2\text{H}_5\text{OH}$)이 代替燃料로서 檢討되고 있다.

Methanol은 이미 오래 전부터 自動車燃料로서考慮되었고, 實際로 gasoline이 저렴한 価格으로 豐富하게 供給되기 前에는 自動車燃料로서 使用되었다.⁽¹⁾

現今에 이르러 methanol은 일부 사람들에 依해 石油世代의 다음을 잇는 自動車燃料로 評價되고 있다. 그것은 石炭과 天然gas가 아직은 豐富하고, 또 그것으로부터의 抽出 生產技術이 確立되었으며, 価格도 同一發熱量으로 比較하여 現在의 gasoline

보다 저렴한 것으로 予想되기 때문이다.

Ethanol도 이미 2차대전 중 代用燃料로서 各國에서 널리 사용되었었다. 石油資源이 枯渇되어 가는데 대하여 ethanol은 植物로부터 每年燃料로서 生産되므로 해마다 그 量을 累積시킬 수 있어 이러한 点에서 永久한 燃料가 될 수 있다.

純粹한 methanol이나 ethanol을 보통의 gasoline機關에 使用하는 경우 氣化潛熱이 크기 때문에 始動性, 應答性이 좋지 않고, unburned alcohol의 排出量이 많아지는 問題가 있다.

NOx, HC 및 CO 등의 排氣有害成分에 있어서는 gasoline 이상으로 改善할 수 있으나 aldehyde의 排出은 gasoline을 使用하였을 때에 比하여 2~3倍增加된다는 것이 報告되어 있다.⁽²⁾

또 理論空燃比가 gasoline과 달라 보통의 gasoline機關에 純粹한 methanol이나 ethanol을 使用하는 경우 廣範圍하게 機關을 修正하여야 한다.

* 正會員 : 서울大學校 工科大學

** : 서울大學校 工科大學

*** 學生會員 : 서울大學校 工科大學

한편 우리나라에서는 石炭資源의 매장량이나 農產物 栽培 面積으로 보아 純粹한 methanol이나 또는 ethanol만을 장래의 自動車 燃料로서 全面的 으로 使用하기는 어렵다. 그러나 이들을 超多量으로 生產하는 國家로부터 輸入하여 gasoline과 混合하여 使用하게 될 可能性은 충분히 있다.

따라서 本研究에서는 methanol 또는 ethanol과 gasoline 混合物의 自動車用 燃料로서의 適應性을 評價하기로 하고, 기존의 4cylinder 4 cycle gasoline 機關을 試驗機關으로 하여 methanol 또는 ethanol의 混合比率와 点火時期의 變化에 따른 出力, 燃料消費率등의 機關性能과 排氣成分에 대하여 實驗的으로 살펴 보았다.

2. 實驗裝置, 燃料 및 實驗方法

2.1 實驗裝置

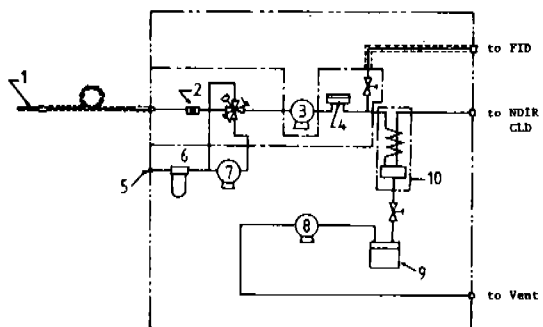
試驗機關은 既存의 4 cylinder 4 cycle gasoline 機關이고, 燃燒室은 半球形型이다. Cylinder

Table 1 Engine specification

Item	Specification
Maker & model	Nissan, L14
Type	Inline 4cyl. 4cycle water cooled
Piston displacement cc	1428
Combustion chamber	semi spherical
Bore × stroke mm	83×66
Compression ratio ϵ	9.0 : 1
Max. Torque kgm/rpm	11.8/3600
Max. Output PS/rpm	85/6000
Carburetor	Two barrel
Valve timing	
IN. open	8° BTDC
IN. close	44° ABDC
Ex. open	50° BBDC
Ex. close	10° ATDC
Ignition timing	5° BTDC

안지름이 83mm, 行程 66mm, 總行程體積은 1428cc이 고, 壓縮比는 9.0 : 1이다. 기타의 諸元은 Table 1 과 같다.

軸出力 및 燃料消費率의 測定에는 水冷渦電流制動型, 最大吸收馬力 100PS, 最高吸收 回轉速度 7000 rpm의 動力計(日本 Tokyo Meter 製 RQ-T-GWE-85/100-C)와 附設된 燃料消費量 測定裝置를 使用하였다. 排氣gas 測定에는 日本 YANACO EIFC-1083 排氣gas 分析器(CO-NDIR, HC-FID, NO-CLD)를 使用하였고, 排氣gas 採取는 Fig. 1에 나타낸 direct sampling 方式을 取하였다.



- 1 Probe
- 2 Primary filter
- 3 Sampling pump
- 4 Secondary filter
- 5 Purge air inlet
- 6 Air filter
- 7 Reverse purge pump
- 8 Drain pump
- 9 Drain bottle
- 10 Humidity eliminator

Fig. 1. Schematic diagram of vehicle emission gas analyzer

2.2 燃料

燃料로는 methanol-gasoline 混合物인 경우, methanol의 混合比率 5% (體積比率, 以下同), 10%, 15% 및 20%의 4種을, ethanedi-gasoline의 경우 ethanol의 混合比率 10% 및 20%의 2種을 각각 使用하였으며, methanol 및 ethanol은 純度 99.9%이고, gasoline의 性狀은 Table 2³에 나타낸 것과 같다.

Table 2 Specification of gasoline

Description	Gasoline (premium)
Gravity	g/cc
Colour	Red
Doctor Test	Negative
Ordor	Sweet
Sulfur,	wt %
Corrosion, Cu strip. 3hr, 122°F	0.15(max) 1 (max)
Existent Gum.	mg/100ml
Oxidation Stability, minutes	480(min)
Research Octane number	95.0(min)
Lead Content, TEL, gm/gal	3.17(max)
Heat of Combustion, Kcal/kg	11,000

2.3 實驗方法 製圖係計算式

機關性能에 대하여는 throttling opening 을 25%, 50% 및 75%에 각각 固定하고, 負荷率을 定해진 값으로 變動시키며, gasoline 만을 使用하였을 때와 methanol 또는 ethanol 混合燃料를 使用하였을 때에 對하여 比較 實驗하였다. 또 이 때 点火時期도 0° BTDC, 4° BTDC, 8° BTDC 및 12° BTDC로 變化시켰다.

排氣gas의 測定도 機関性能 實驗時에 並行 하였으며 單位 實驗時期의 2/3가 경과한 後 나머지 1/3單位 時間 계속 測定하였다.

機関動力計를 사용한 軸 torque 및 出力의 测定은 다음과 같이 計算하였다.⁽⁴⁾ 動力計의 荷重을 W , 動力計의 arm의 長이를 L 로 할 때 torque T 는

로 計算되고, 이 때의 出力 P 는

$$P = \frac{2\pi TN}{75 \times 60} \quad \dots \dots \dots \quad (2)$$

로 표시된다. 여기서 N 은 機関回転速度를 나타낸다. 测定된 量을 標準狀態(大気圧760mmHg, 温度20°C, 湿度65%)에서의 量으로 바꾸기 위하여

$$k = \frac{749}{P_a - \phi P_s} - \sqrt{\frac{273 + \theta}{293}} \quad \dots \dots \dots \quad (3)$$

의修正係數를 使用되었다. 여기서 P_a , P_s 는 각각
大氣压과 温度 θ 에서의 포화 증기압을 表示하며,
 ϕ 는 相對濕度를 나타낸다. 標準狀態에서의 torque T_0 및 出力 P_0 는

$$\left. \begin{array}{l} T_0 = kT \\ P_0 = kP \end{array} \right\} \dots \dots \dots \quad (4)$$

가 되다

한편 燃料消費率 G 는

로 表示된다. 여기서 b 는 測定時間內의 燃料消費量을, γ 는 燃料의 比重量, t 는 時間을 나타낸다.
또 無次元의 軸 torque 를 混合燃料 使用時의 torque 와 gasoline 燃料를 使用하였을 때의 torque의 比로써

으로 정의하여 나타내었다.

3 實驗結果 暨 檢討

(1) 出力

Fig. 2 - Fig. 4 는 5% methanol의 燃料를 使用하고, throttling opening 別(25%, 50% 및 75%)로 回轉速度 및 点火時期를 變化시켜 얻은 軸torque T_a 의 値을 나타낸 것이다. Fig. 5는 methanol 10%, Fig. 6은 methanol 15%, Fig. 7은 methanol 20%의 경우를 各各 나타낸 것이다.

또 Fig. 8 은 ethanol 10%, Fig. 9 는 ethanol 20%의 것을 使用하였을 때의 軸 torque T_o 를 나타낸다. 以上의 各 Fig의 檢討에서 点火時期 12° BTDC 일때의 軸 torque T_o 的 값이 가장 바람직함을 알 수 있다.

Fig. 10 - Fig. 12는 点火時期를 12° BTDC로 하고 throttling opening 別로 gasoline 밖을 使用하였을 때의 軸 torque T_{ax} 와 混合燃料를 사용하였을 때의 軸 torque T_0 를 比較한 것이고, Fig. 13 - Fig. 15는 Fig. 10 - Fig. 12의 T_0 를 無次元化하여 T_0^* 로서 표시한 것이다.

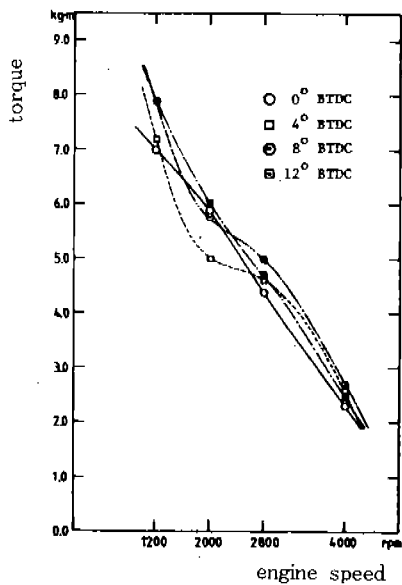


Fig. 2. Torque vs. engine speed using methanol 5% - gasoline 95% blend at throttling opening 25%

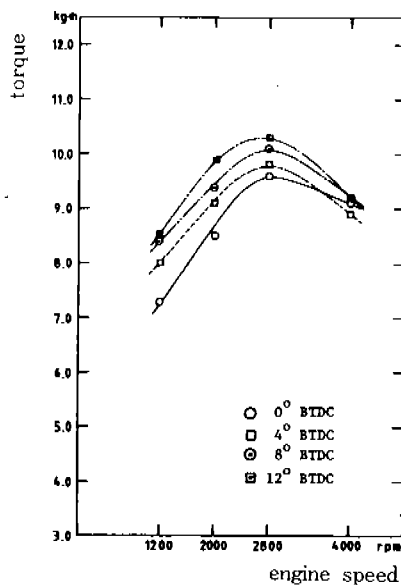


Fig. 4. Torque vs. engine speed using methanol 5% - gasoline 95% blend at throttling opening 75%

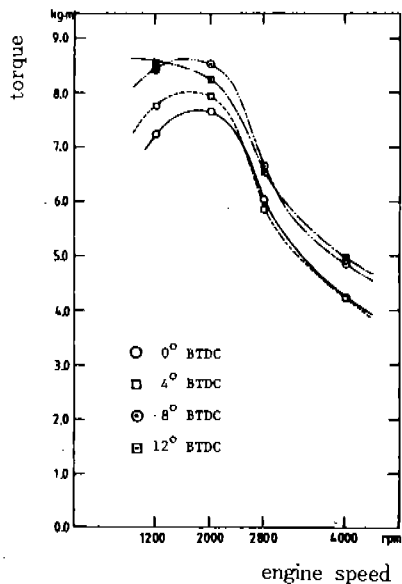


Fig. 3. Torque vs. engine speed using methanol 5% - gasoline 95% blend at throttling opening 50%

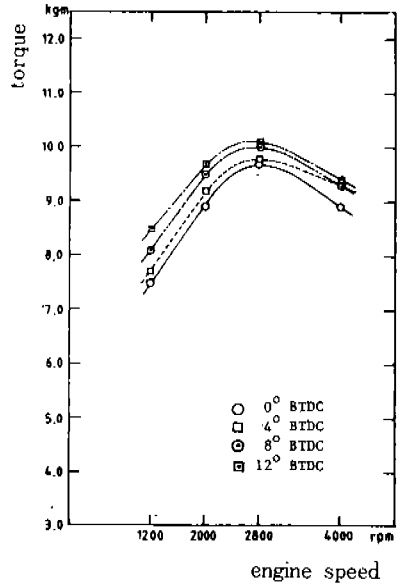


Fig. 5. Torque vs. engine speed using methanol 10% - gasoline 90% blend at throttling opening 75%

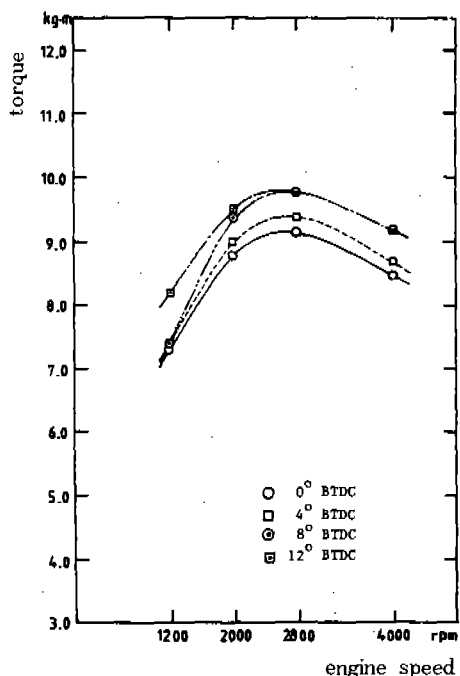


Fig. 6. Torque vs. engine speed using methanol 15% - gasoline 85% blend at throttling opening 75%.

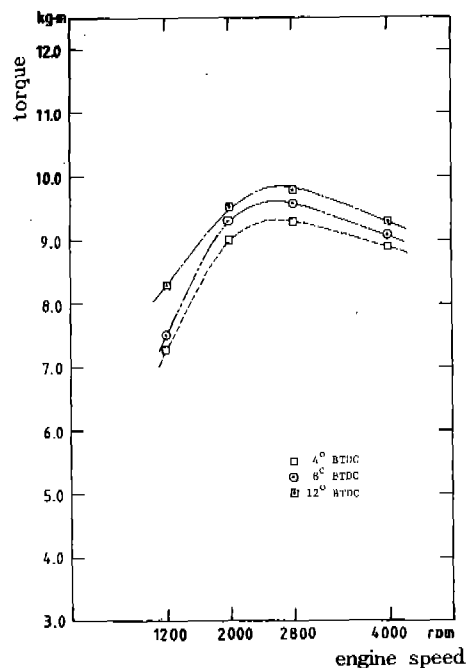


Fig. 8. Torque vs. engine speed using ethanol 10% - gasoline 90% blend at throttling opening 75%.

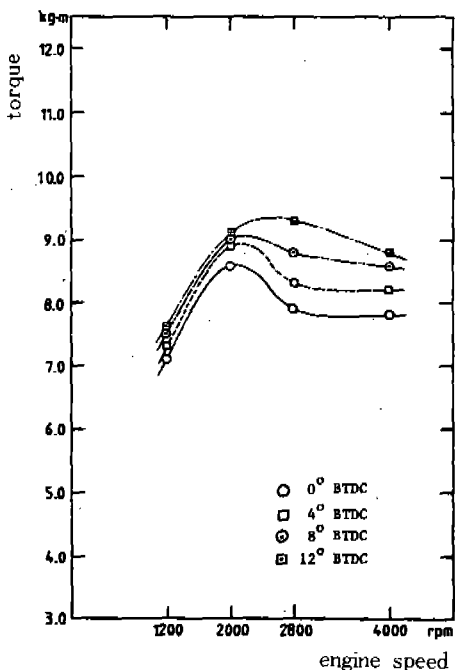


Fig. 7. Torque vs. engine speed using methanol 20% - gasoline 80% blend at throttling opening 75%.

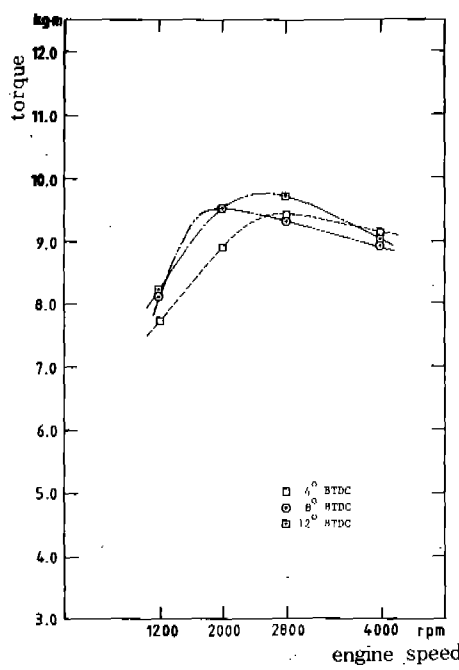


Fig. 9. Torque vs. engine speed using ethanol 20% - gasoline 80% blend at throttling opening 75%.

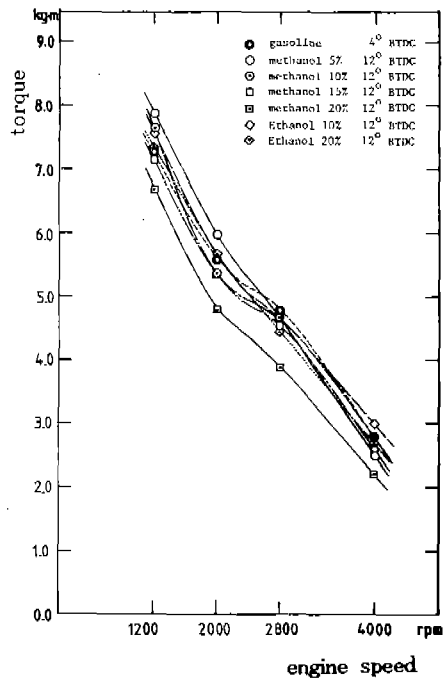


Fig. 10. Torque vs. engine speed at throttling opening 25%.

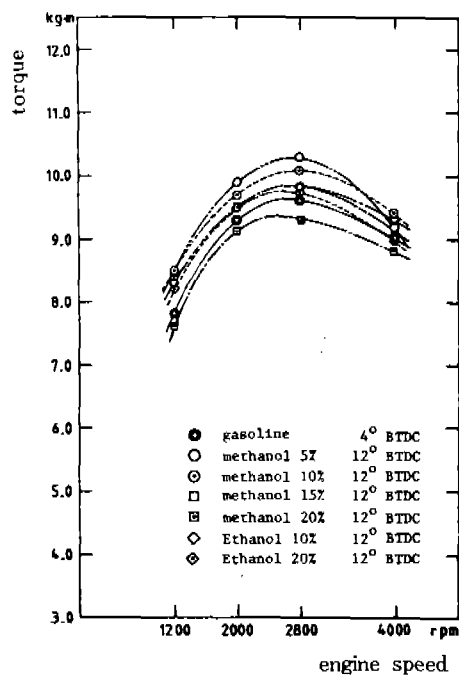


Fig. 12. Torque vs. engine speed at throttling opening 75%.

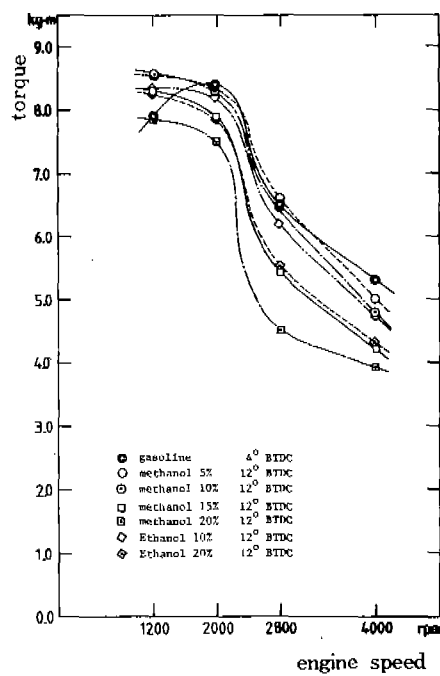


Fig. 11. Torque vs. engine speed at throttling opening 50%.

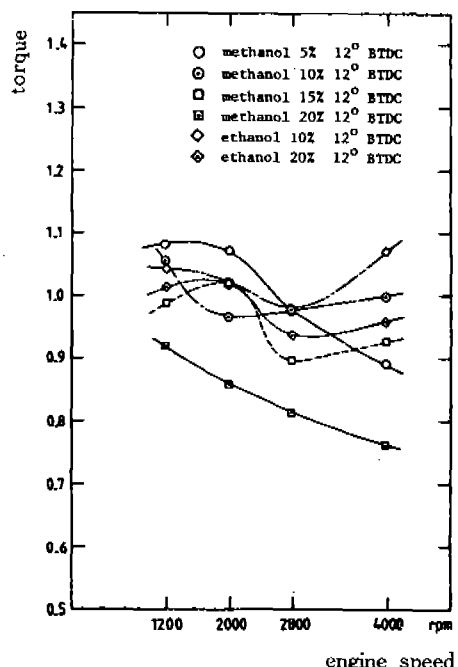


Fig. 13. Dimensionless torque vs. engine speed at throttling opening 25%.

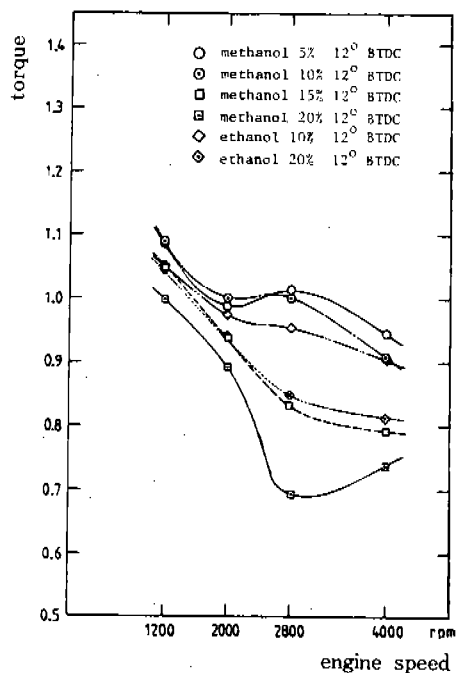


Fig. 14. Dimensionless torque vs. engine speed at throttling opening 50%.

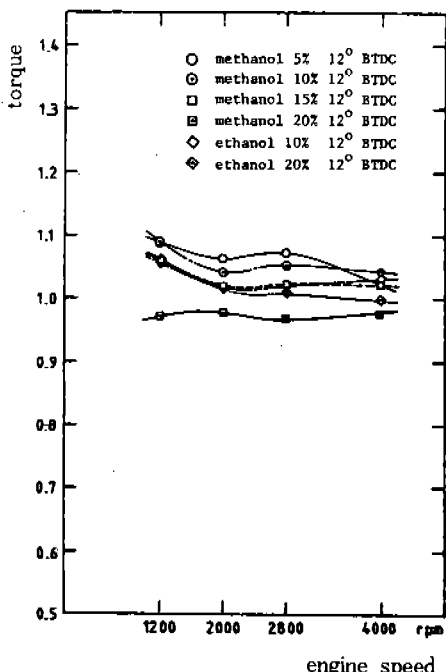


Fig. 15. Dimensionless torque vs. engine speed at throttling opening 75%.

点火時期 12° BTDC 에서의 軸 torque의 增加率은 다음과 같다. 即 methanol 5%인 경우 平均 2.6%, methanol 10%인 경우 平均 1.9%의 增加率을 보였고, methanol 15% 및 20%인 경우에는 각各 平均 3.6%, 11.7%의 減少를 보였다.

또 ethanol은 混合率 10%인 경우 平均 1.1%의 增加를 보이고 있고, ethanol 20%인 경우에는 平均 2.8% 減少되고 있다.

Throttling opening 75%에서는 methanol 20%의 경우를 除外하고는 모두 增加를 나타내어 alcohol-gasoline 混合燃料가 wide throttling 운전에서 有利함을 보여주고 있다.

한편 点火時期 8° BTDC 에서는, methanol 5%인 경우에만 平均 2.2%의 增加를 나타내고, methanol 10%, 15%, 20%인 경우는 각各 平均 3.0%, 4.8%, 20.0%의 減少를 나타내고 있다. 또 ethanol 10%, 20%인 경우에도 각各 1.9% 및 5.8%의 減少를 보이고 있다.

Fig. 16~Fig. 18은 燃料別 燃料消費率, throttling opening 및 同轉速度의 關係를 나타낸 것이다. 燃料消費率은 methanol 5% 및 10%인 경우 모두 平均 10.3%의 減少를 보이고, methanol 15% 및 20%에서는 각各 平均 15.0% 및 9.7%의 減少를 보이고 있다.

한편 ethanol은 10% 混合인 경우 平均 4.2% 減少되고, 20%인 경우에는 平均 1.2%의 增加를 나타내고 있다.

(2) 排氣成分

Fig. 19~Fig. 21은 排氣成分 測定結果中에서 바람직한 것만을 選定하여 나타낸 것이다. Table 3은 methanol 또는 ethanol의 混合比率別 実驗結果中에서 良好한 것을 4° BTDC 에서의 gasoline使用時의 排氣成分과 比較하여 나타낸 것이다.

Table 3에 따르면 20% methanol, 8° BTDC에서 CO 65.5%, THC 20.7%, NO 62.0%의 減少를 보여 CO 및 NO에 있어서는 가장 바람직하나, 軸 torque가 20% 減少되고 있다. 10% ethanol, 12° BTDC에서는 CO 42.1%, THC 25.2%, NO 21.8%가 각各 減少되어 平均水準을 보이고 있고, 또 軸 torque도 平均 1.1%의 增加를 나타내고 있다.

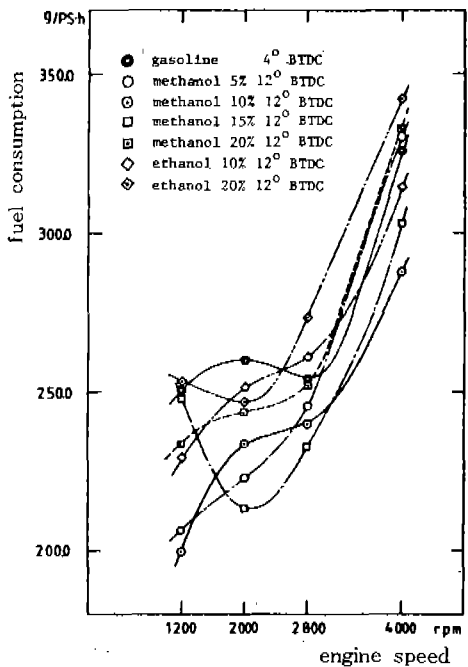


Fig. 16. Specific fuel consumption vs. engine speed at throttling opening 25%.

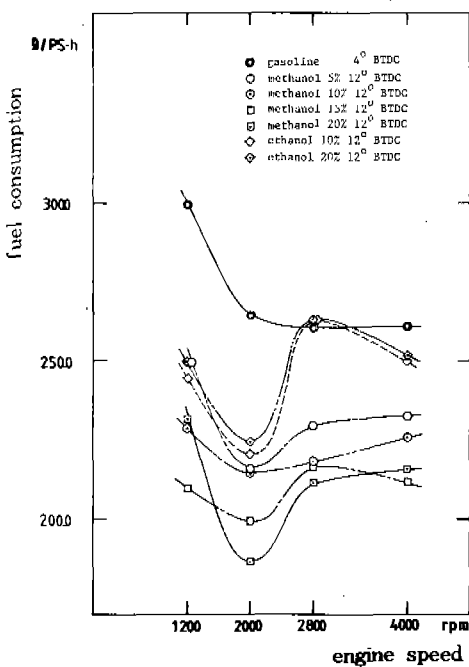


Fig. 18. Specific fuel consumption engine speed at throttling opening 75%.

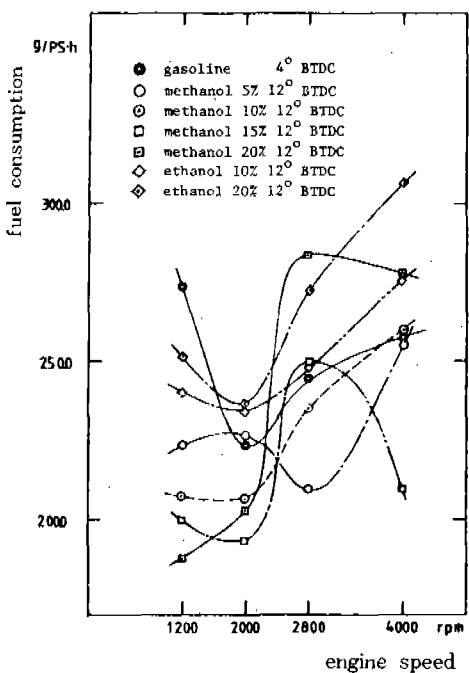


Fig. 17. Specific fuel consumption vs. engine speed at throttling opening 50%.

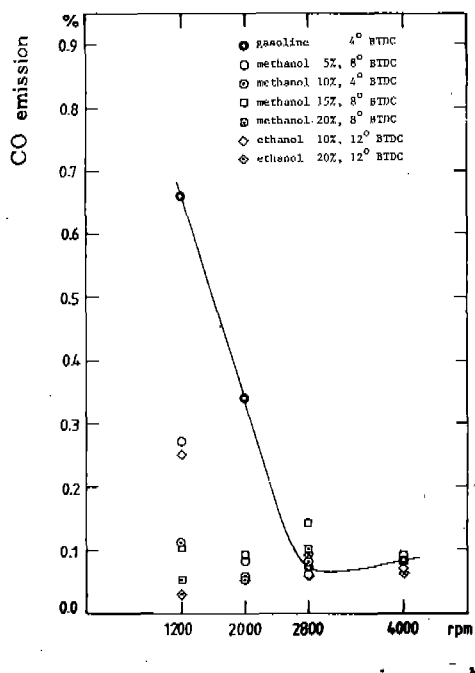


Fig. 19. CO emission vs. engine speed at throttling opening 25%.

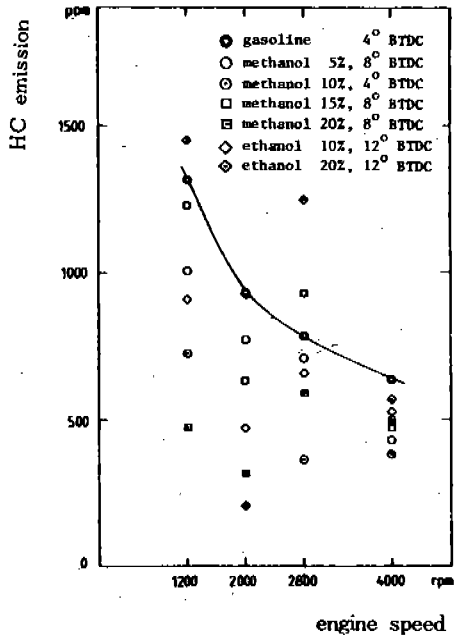


Fig. 20. HC emission vs. engine speed at throttling opening 25%.

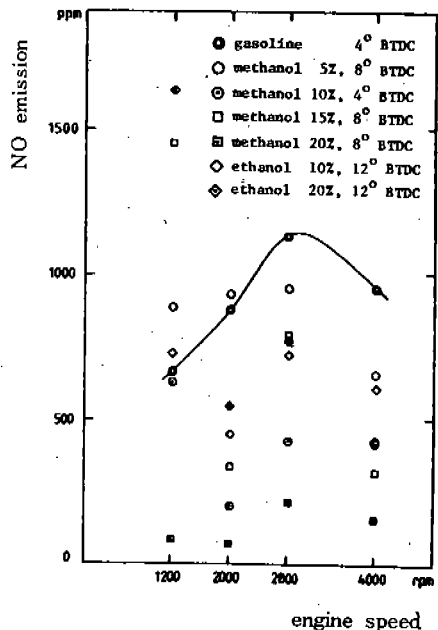


Fig. 21. NO emission vs. engine speed at throttling opening 25%.

Table 3. Variations of emissions.

Fuel \ Emissions	CO(%)	THC(%)	NO(%)
Methanol 5%, 8° BTDC	-28.7	-15.4	-1.5
Methanol 10%, 4° BTDC	-51.0	-47.7	-39.4
Methanol 15%, 8° BTDC	-14.4	+23.3	+18.3
Methanol 20%, 8° BTDC	-65.5	-20.7	-62.0
Ethanol 10%, 12° BTDC	-42.0	-25.2	-21.8
Ethanol 20%, 12° BTDC	-19.7	-41.5	-33.8

以上의 내용을 종합하면 다음과 같다.

(1) Methanol-gasoline 混合燃料를 사용하였을 때의 軸 torque 는 gasoline 만을 사용하였을 때에 比하여 methanol 5%인 경우 平均 2.6%, 10%인 경우 平均 1.9% 增加되고, methanol 15% 및 20%에서는 각각 平均 3.6% 및 11.7% 減少된다. 即 methanol vol. 10%까지의 混合燃料는 gasoline만을 사용하였을 때의 出力水準을 上廻한다.

(2) Methanol-gasoline 混合燃料를 사용하였을 때의 点火時期와 軸 torque 的 関係에 있어서는 点火時期를 12° BTDC 로 設定하였을 때의 값이 平均的 으로 가장 良好하다.

(3) Ethanol-gasoline 混合燃料에서의 軸 torque 는, 点火時期 12° BTDC 에서 ethanol 10%인 경우 平均 1.1% 增加되고, ethanol 20%에서는 平均 2.8 % 減少되고 있다. 混合比率와 軸 torque 的 増減率에 있어 methanol의 경우와 거의 同一하다.

(4) Methanol 또는 ethanol 混合燃料는 wide throttling 運転에서 더 効果的이다.

(5) 燃料消費率은 alcohol 混合比率 20% 까지는 全體的으로 보아 gasoline 만을 使用하였을 때에 比하여 7% 程度 向上된다.

(6) 排氣問題을考慮한 最適的 点火時期는 methanol-gasoline 混合燃料인 경우 標準的 時期인 8°

BTDC 부근이 되고, ethanol-gasoline 混合燃料인 경우에는 12° BTDC 부근이 된다.

4. 結 論

Alcohol-gasoline 混合燃料를 기존의 4cycle 4 cylinder 가솔린機閥에 使用하였을 때의 機閥性能 및 排氣成分 関係는 다음과 같다.

Methanol-gasoline 混合燃料를 使用하였을 때 機閥出力은 12° BTDC 부근에서 最大를 나타내고, 有害排氣成分은 8° BTDC 부근에서 最小를 나타낸다. ethanol-gasoline 混合燃料에서는 出力 및 排氣成分이 12° BTDC 부근에서 가장 良好하다. 따라서 alcohol-gasoline 混合燃料는 点火時期 設定에 신중을期하면 그 混合比率 15%까지는 기존의 가솔린機閥에 어려한 附加設備을 하지 않고서도 使用될 수 있고, 機閥出力의 向上과 排氣ガス 対策에 있어서도 效果的이다.

參 考 文 獻

- (1) Eric E. Wigg and Robert S. Lunt, Methanol as a Gasoline Extender-Fuel Economy, Emissions and High Temperature Driveability. SAE paper 741008

- (2) David L. Hilden and Fred B. Parks, A Single-cylinder Engine Study of Methanol Fuel - Emphasis on Organic Emissions. SAE paper 760378
- (3) 李文得外, 自動車 排出ガス 許容限度 및 檢查方法, 文教部, pp. 48-49, 1978
- (4) KSB 9102 자동차용 수냉 가솔린 기관 성능시험 방법
- (5) D. W. Hughes and J. R. Goulburn, Economy with Reduced Exhaust Emission - A Simple Technique. SAE paper 740140
- (6) J. C. Ingamells and R. H. Lindquist, Methanol as a Motor Fuel or a Gasoline Blending Component. SAE paper 750123
- (7) J. A. Harrington and R. H. Pilot, Combustion and Emission Characteristics of Methanol. SAE paper 750420
- (8) David L. Hagen, Methanol as a Fuel: A Review with Bibliography. SAE paper 770792